

Автоматическая сегментация речевого сигнала

П. А. Холявин

p.kholyavin@spbu.ru

28.11.2024





Методы сегментации

1. С опорой на транскрипцию (forced alignment)
 2. Без опоры на транскрипцию
-
1. По правилам
 2. Статистические



Автоматическое определение взрывных

Признаки:

1. Общая энергия
2. Энергия выше 3 кГц
3. Spectral flatness

С шагом 1 мс, окно 5 мс

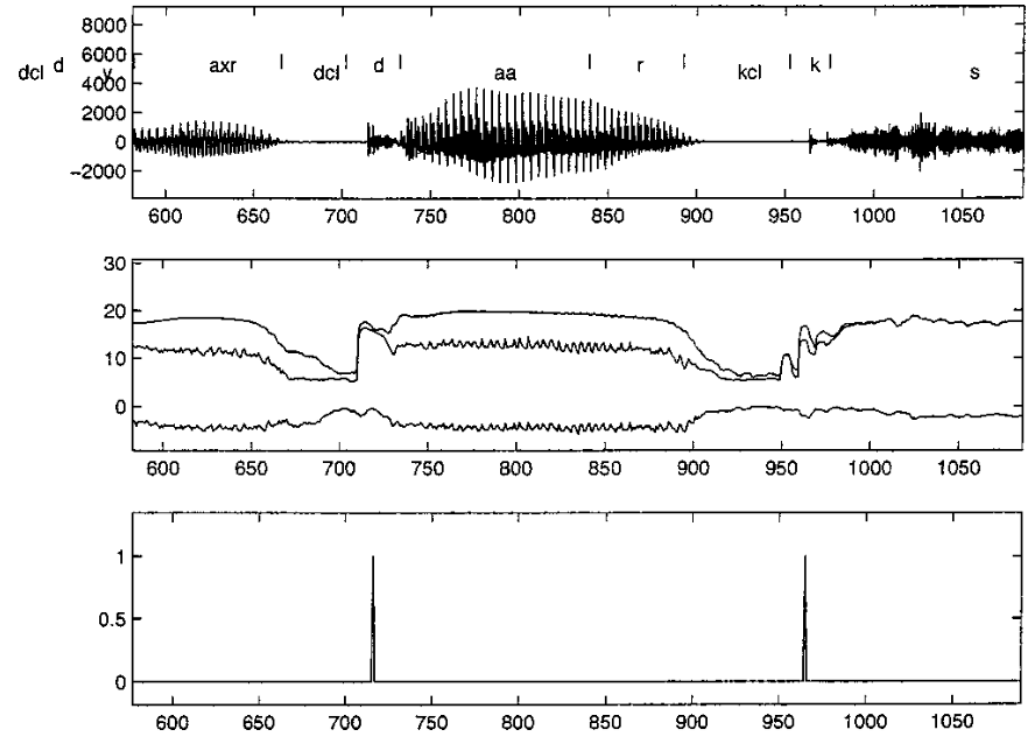


FIG. 1. Portion of the speech wave form $s(n)$ (top panel), the associated three-dimensional feature vector, $\mathbf{x}(n)$ (middle panel), and the desired output $y(n)$ bottom panel marking the times of the closure–burst transition.



Автоматическое определение взрывных

Алгоритмы:

A. Сумма разностей первого и второго признака

B. Оптимальный (обученный) оператор с двумя признаками

C. -//- с тремя признаками

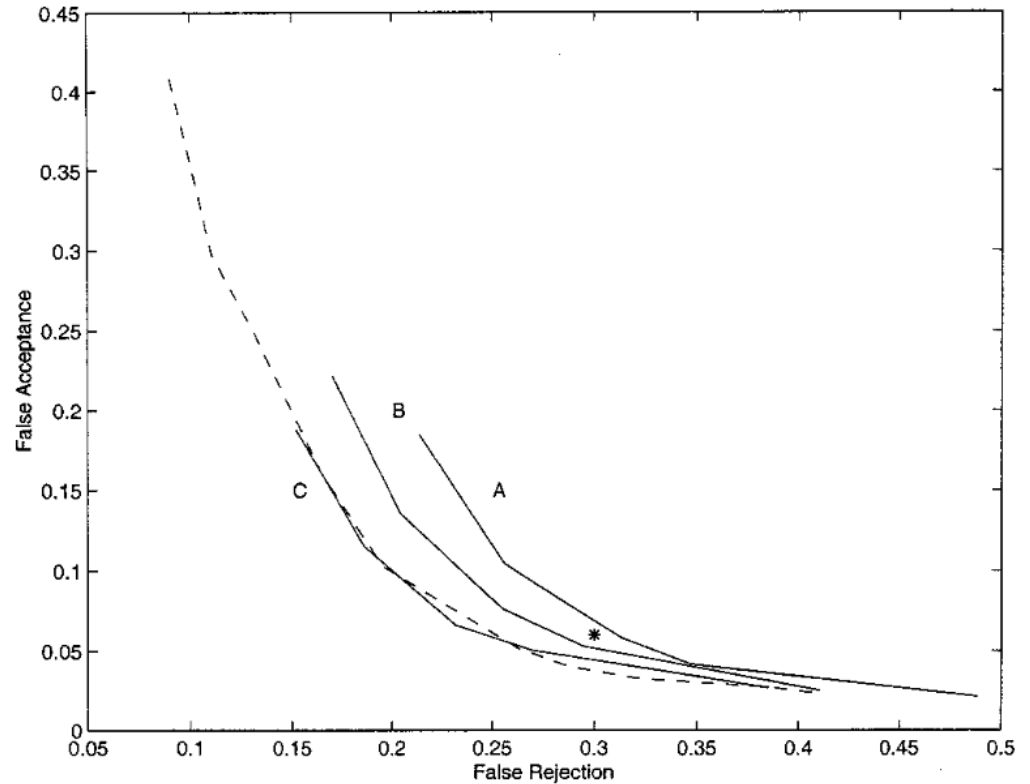
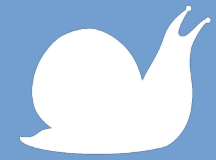
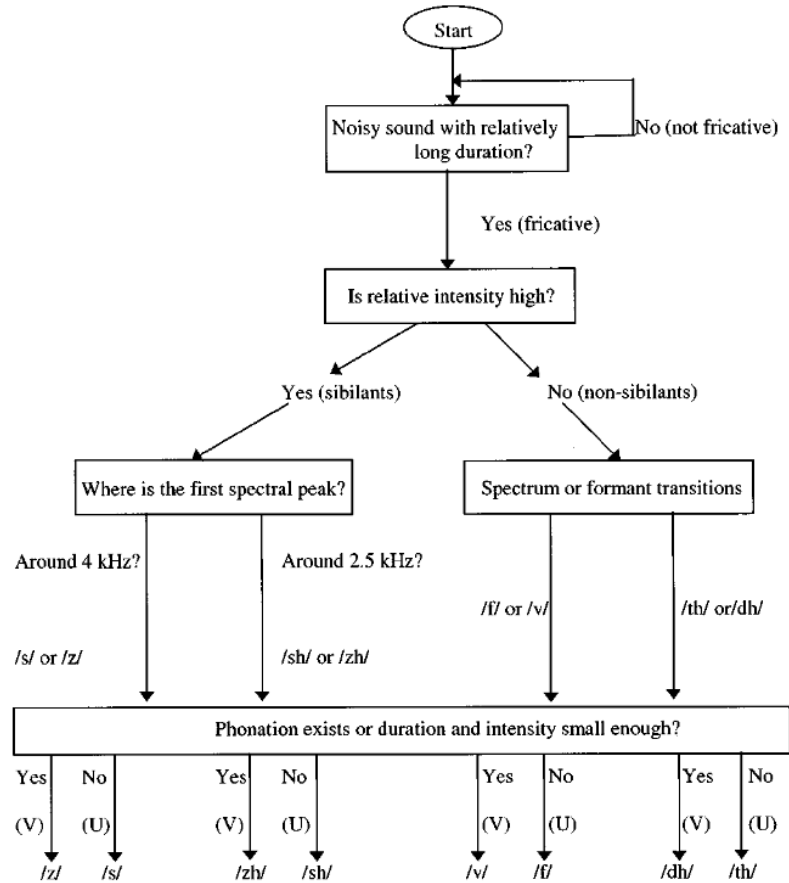


FIG. 2. ROC curves for detection of stop consonants using three different algorithms described in text.



Классификация фрикативных





Классификация фрикативных

Признаки для определения звонкости:

LOWG – энергия до 1 кГц

LOWE – отношение энергий частот до 1.5 кГц и от 3 кГц

DUP – длительность глухого участка

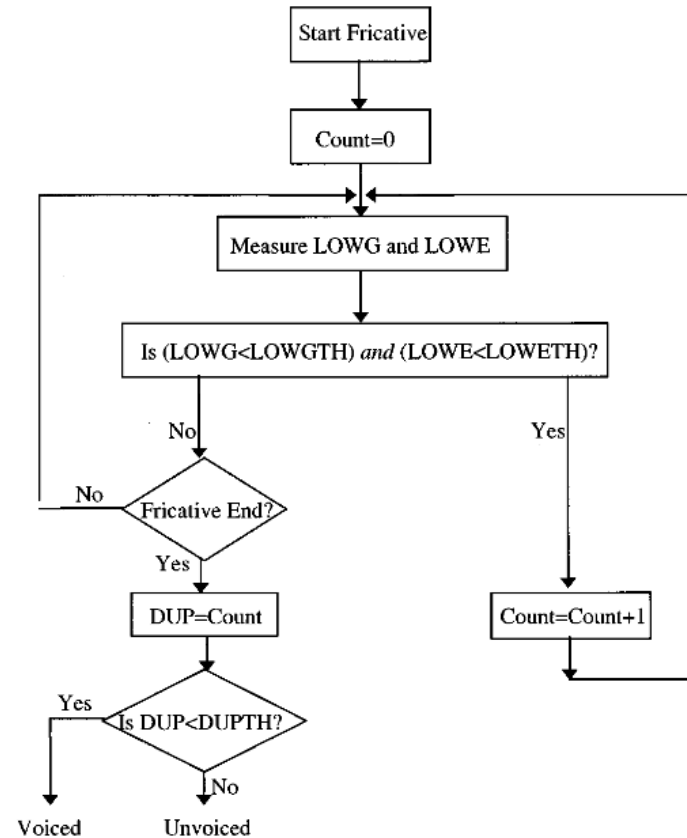


FIG. 5. Voicing detection in prevocalic fricatives.

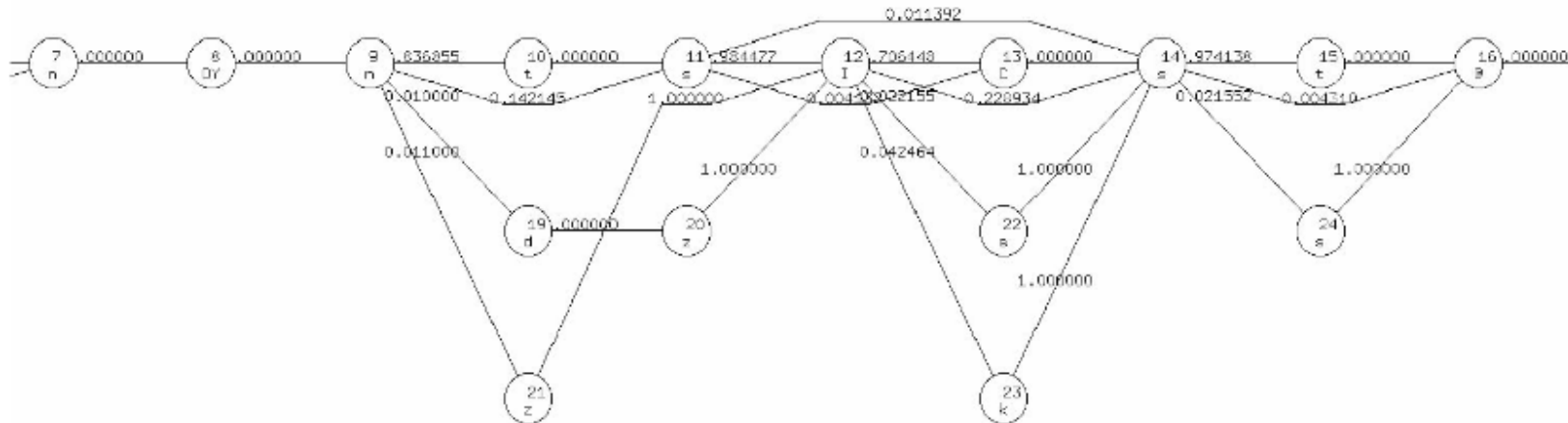


Munich Automatic Segmentation System

С опорой на орфографию:

1. G2P

2. WORDVAR – построение графа произносительных вариантов

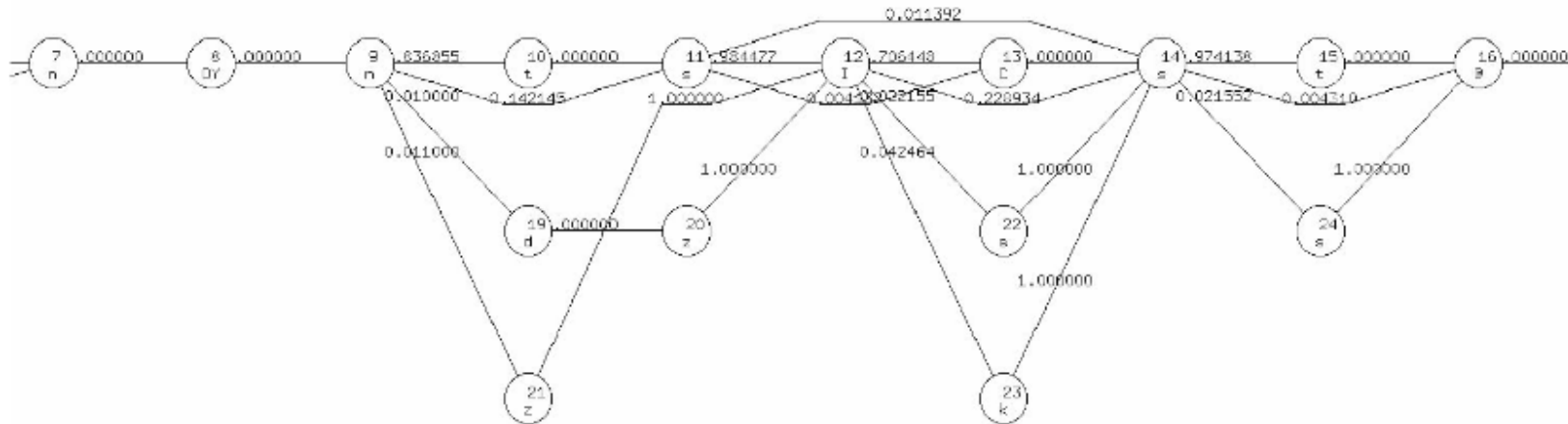




Munich Automatic Segmentation System

С опорой на орфографию:

3. Алгоритм Витерби (поиск наиболее вероятного пути через граф)





Montreal Forced Aligner

Kaldi

Признаки:

13 MFCC до 8 кГц + дельта и дельта-дельта, окно 25 мс, шаг 10 мс

Обучение:

1. Монофонные GMM-модели (40 итераций, 20 из них с пересчётом границ)
2. Трифонные GMM-модели (35 итераций, 15 с пересчётом)



Уточнение границ после НММ

1. На основе спектральных признаков
2. С помощью SVM
3. С помощью нейронных сетей
- ...



Моделирование границ

Использование фонетической сегментации:

Table 2. Agreement percentages for different tolerances (in ms), for systems using or not using manual segmentation for training monophone HMMs.

	<10	<20	<30	<40	<50
Segmentation not used for training	70.20	89.98	95.74	97.88	98.92
Segmentation used for training	73.23	91.85	96.45	98.17	99.05



Моделирование границ

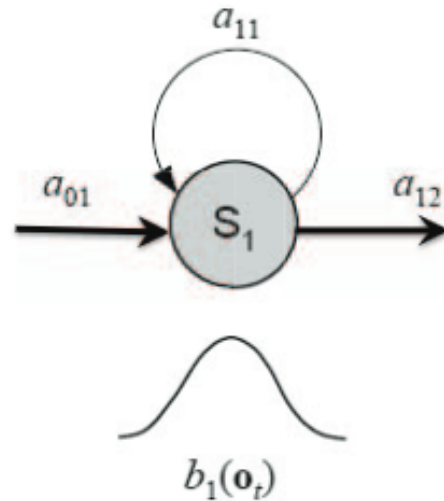


Figure 1: *1-state HMM. The one state HMM is a special 1-state model for the boundaries when the transition probabilities $a_{11} = 0$ and $a_{12} = 1$.*



Моделирование границ

Table 4. *Agreement percentages for different tolerances (in ms), for systems using monophone HMMs, monophone HMMs and boundary models, triphone HMMs, and triphone HMMs and boundary models.*

	<10	<20	<30	<40	<50
Monophones	73.23	91.85	96.45	98.17	99.05
Monophones & Bo.	77.44	93.92	97.43	98.78	99.35
Triphones	74.93	92.37	96.72	98.33	99.09
Triphones & Bo.	78.09	93.85	97.37	98.72	99.37



Использование Wav2Vec2

Table 1. Evaluation results of text-dependent alignment

Model	P	R	F1	R-val	Overlap
FAVE	0.57	0.59	0.58	0.64	74.3%
MFA-Libris	0.61	0.61	0.61	0.67	73.5%
MFA	0.62	0.63	0.63	0.68	75.0%
Gentle	0.49	0.46	0.48	0.56	67.7%
WebMAUS	0.70	0.70	0.70	0.75	78.8%
W2V2-FC-20ms-Libris	0.49	0.47	0.48	0.56	73.8%
W2V2-FC-10ms-Libris	0.57	0.54	0.55	0.62	76.4%
W2V2-FC-32k-Libris	0.66	0.63	0.64	0.69	79.3%
W2V2-FS-20ms	0.47	0.49	0.48	0.55	71.6%
W2V2-FS-10ms	0.68	0.68	0.68	0.73	80.4%
W2V2-FS-32k	0.63	0.65	0.64	0.69	79.3%
<i>Pretrained G2P converter</i>					
W2V2-FS-20ms	0.40	0.42	0.41	0.49	65.1%
W2V2-FS-10ms	0.56	0.58	0.57	0.63	72.5
W2V2-FC-32k-Libris	0.58	0.57	0.58	0.64	73.0%
<i>Phone set adaptation (TIMIT-61)</i>					
W2V2-FS-20ms	0.49	0.53	0.51	0.57	70.5%
W2V2-FS-10ms	0.66	0.70	0.68	0.72	79.7%



Использование Wav2Vec2

Table 2. Evaluation results of text-independent alignment

Model	P	R	F1	R-val	Overlap
W2V2-CTC-10ms	0.31	0.29	0.30	0.42	43.9%
W2V2-CTC-20ms	0.31	0.30	0.31	0.42	46.6%
<i>Phone recognition + W2V2-FS</i>					
W2V2-FS-20ms	0.40	0.42	0.41	0.48	64.2%
W2V2-FS-10ms	0.56	0.58	0.57	0.63	71.5%
W2V2-FC-32k-Libris	0.57	0.57	0.57	0.64	72.2%
<i>Direct inference</i>					
W2V2-FC-20ms-Libris	0.57	0.59	0.58	0.63	72.7%
W2V2-FC-10ms-Libris	0.55	0.58	0.56	0.62	72.5%
W2V2-FC-32k-Libris	0.60	0.63	0.61	0.66	74.3%

Спасибо за внимание!

